



3D-Datenaustausch von Präzisionswerkzeugen

GTDE Informationsforum

9. März 2016

Dipl.-Ing. Claudia Kleinschrodt,
Dipl.-Wirtsch.-Ing. Reinhard Hackenschmidt,
Prof. Dr.-Ing. Frank Rieg



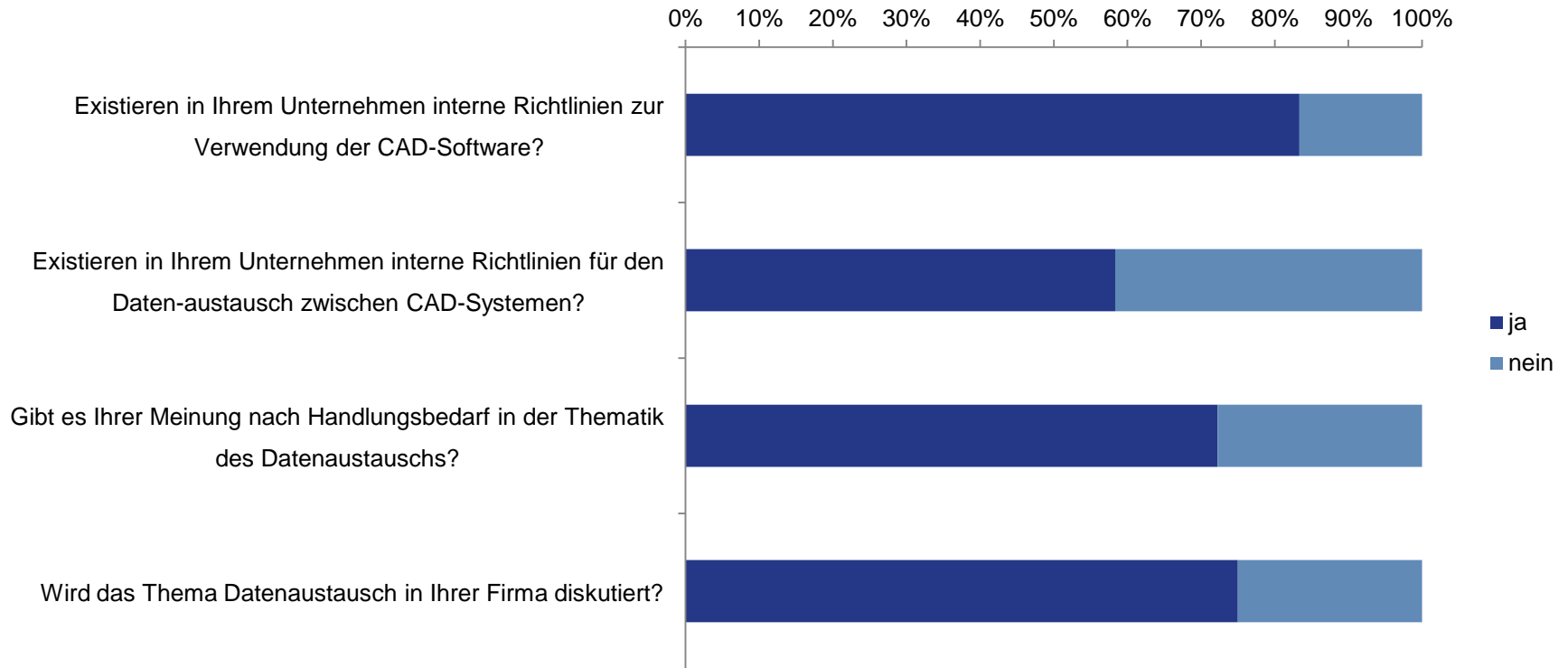
Umfrage zum
Thema
3D-Daten-
austausch

STEP ist nicht
gleich STEP
– Studien

Aktuelle
Forschungs-
vorhaben

Umfrage zum Thema 3D-Datenaustausch

Umgang mit dem Thema Datenaustausch

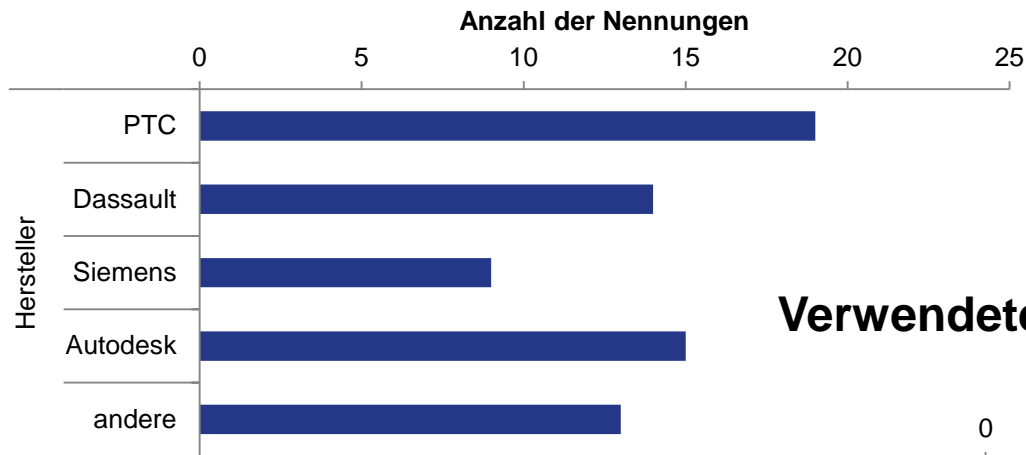


Umfrage zum Thema 3D-Datenaustausch

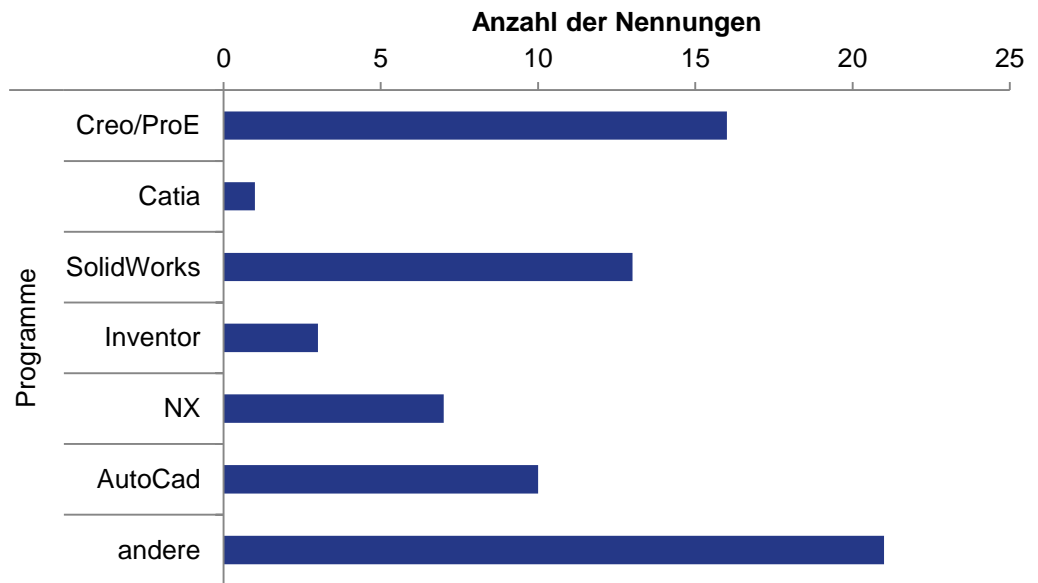
CAD-Programme



Hersteller der verwendeten Programme



Verwendete Programme

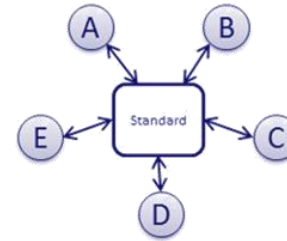
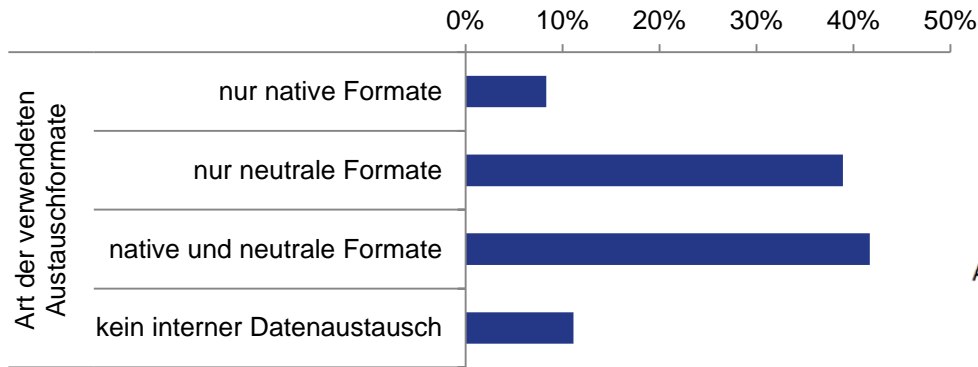


Umfrage zum Thema 3D-Datenaustausch

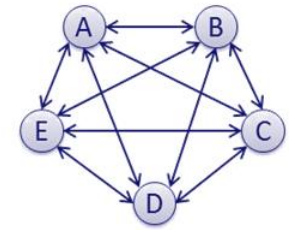
Austauschformate



Art der verwendeten Austauschformate

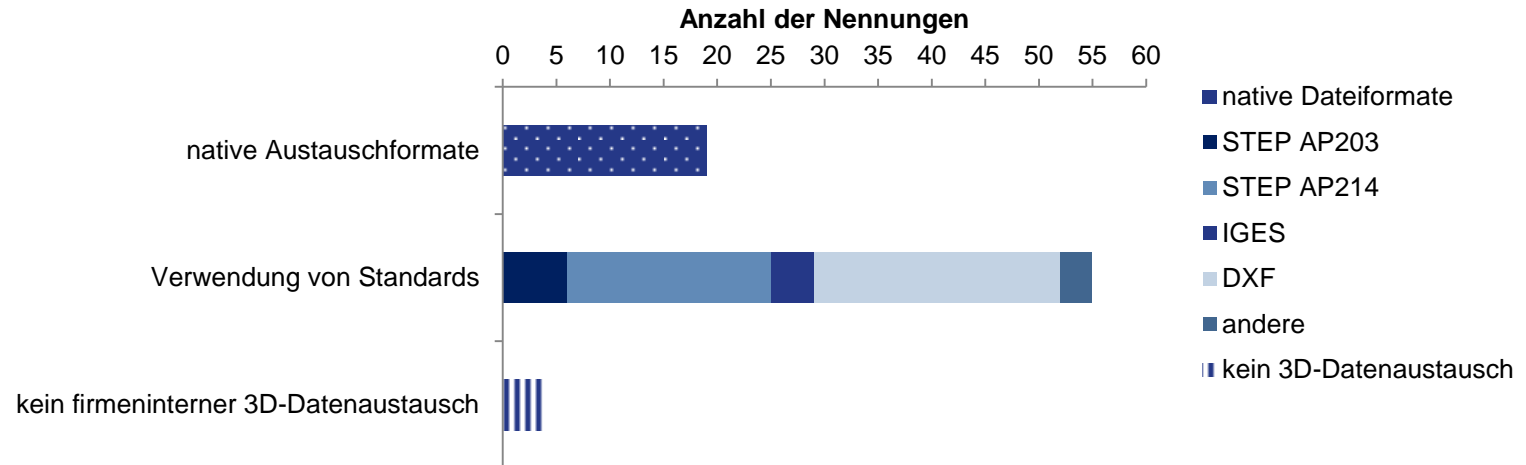


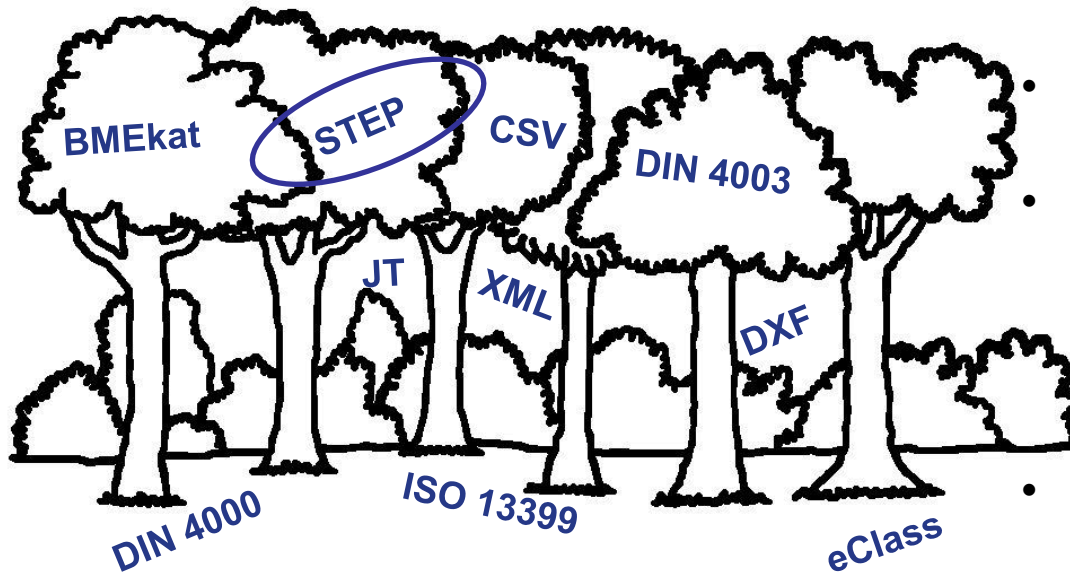
Austausch mittels neutraler Formate



Austausch mittels nativer Formate

Verwendete Austauschformate



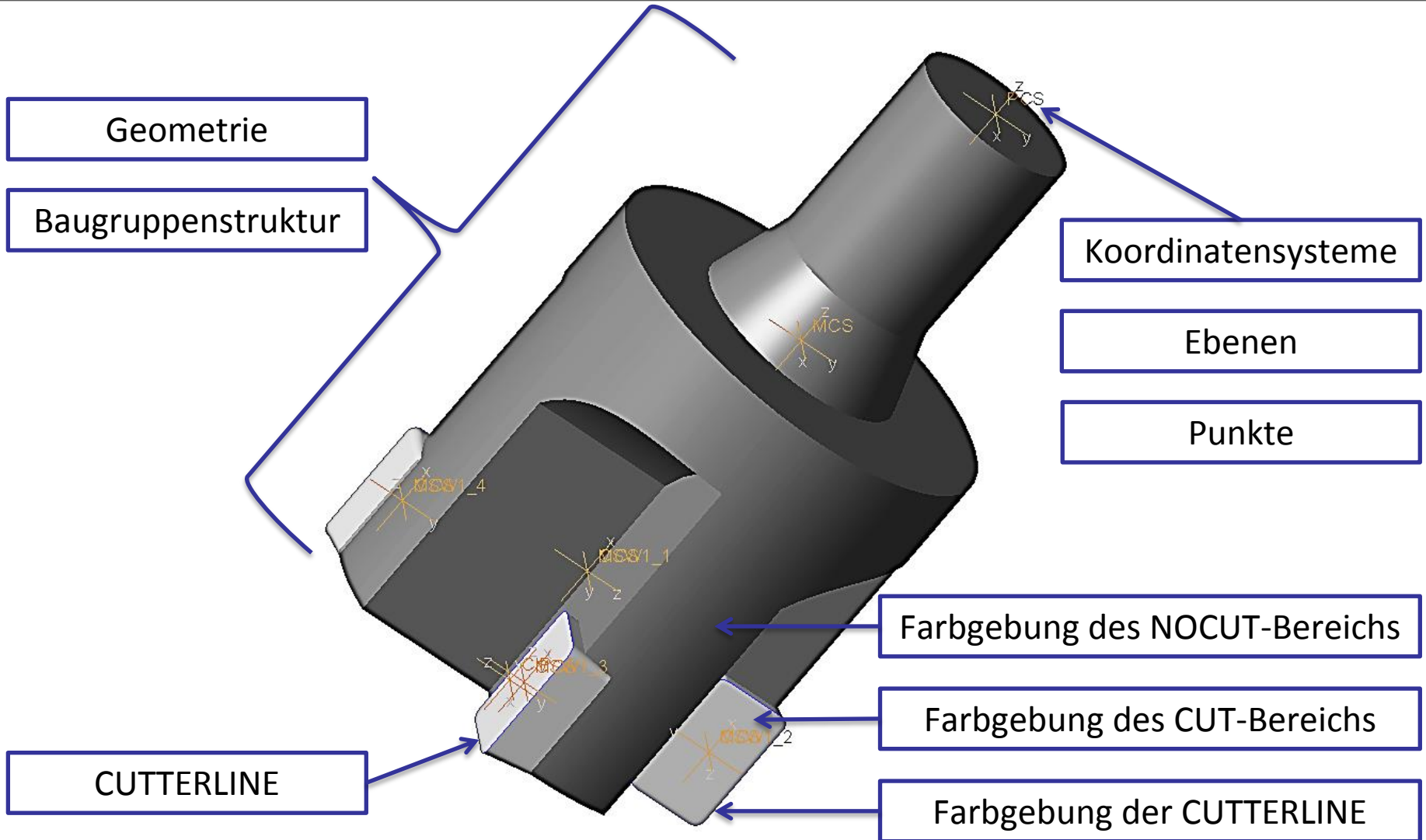


- Existiert seit 1992 als ISO-Norm (ISO 10303)
- Von Anfang an als umfangreicher Standard entwickelt
- Verschiedene Anwendungsprotokolle zur Darstellung branchenspezifischer Informationen (AP214: Core data for automotive mechanical design processes)
- 60% der Befragten tauschen CAD-Daten über STEP AP214 aus
- In allen handelsüblichen CAD-Systemen implementiert

A. S. Tanenbaum: „The good thing about standards is that there are so many to choose from.“

Merkmale der DIN 4003

Am Beispiel eines Schaftfräasers (DIN 4003-87)

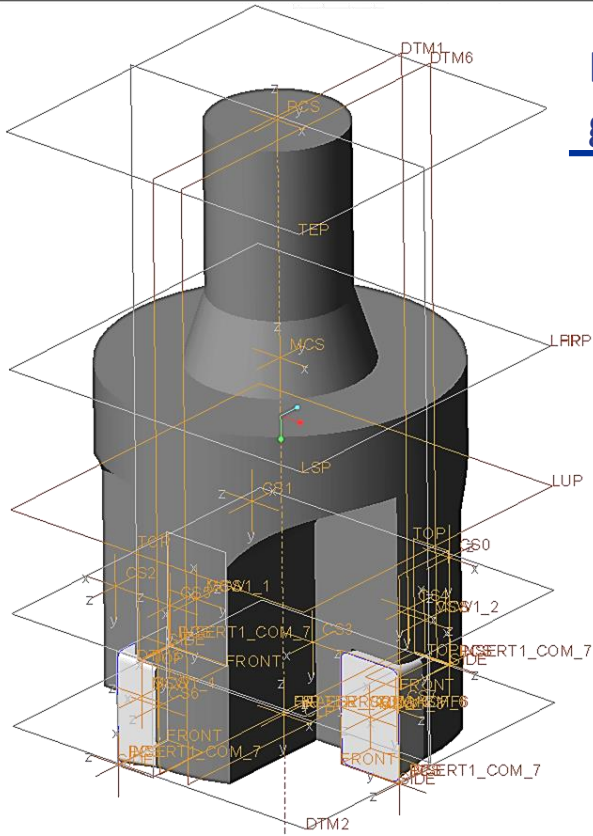


3D-Datenaustausch via STEP

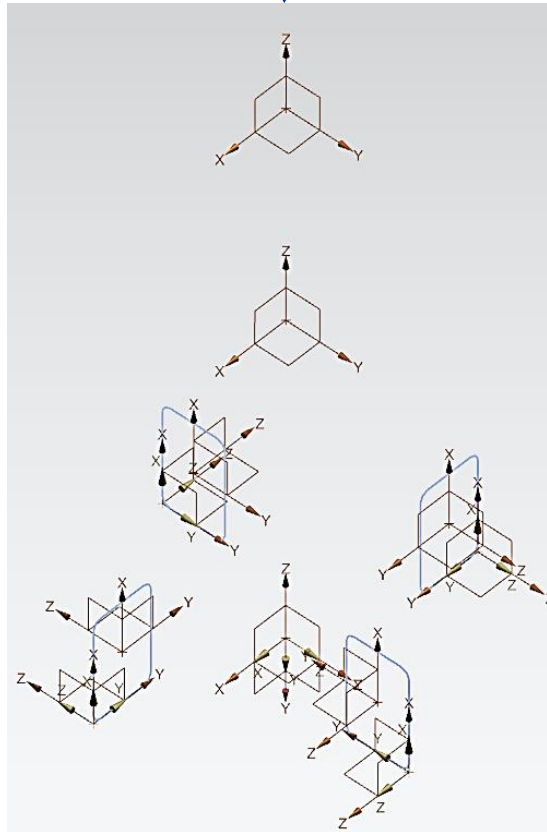
Aus Creo 3.0 exportierte STEP in NX 10.0



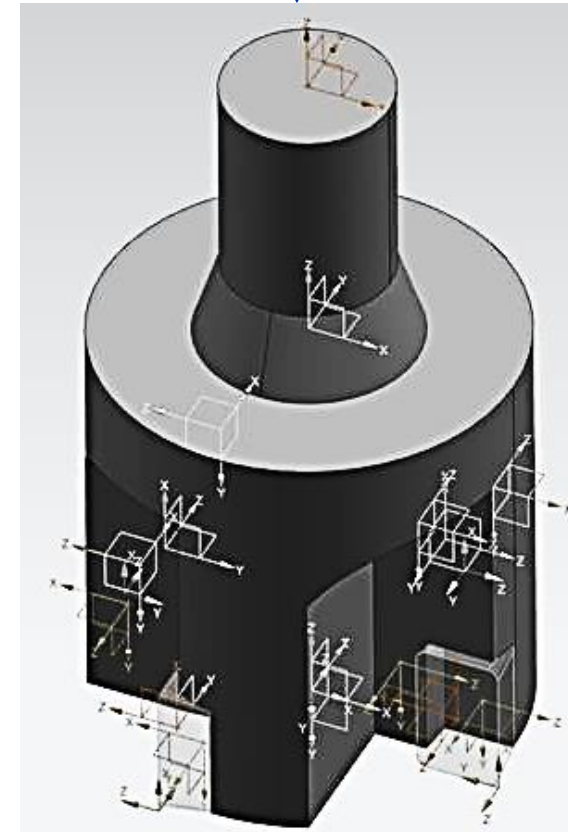
Ergebnis der Übertragung abhängig von den
gewählten Ex- und Importeinstellungen



Creo 3.0 M030



NX10.0



NX10.0

3D-Datenaustausch via STEP

Studie 2012



Ergebnisse der Übertragung nach DIN 4003	EXPORT	Import		
		<u>Pro/E Wildfire 5.0</u>	<u>Catia V5R21</u>	<u>NX 7.5</u>
<u>Pro/E Wildfire 5.0</u>				
Fräser	+ + + + +	+ + + + +	+ + ● ● +	+ - ● ● -
Drehhalter	+ + + ● +	+ + + ● +	+ + ● ● +	+ - ● ● -
Stufenbohrer	+ + + ●	+ + + ●	+ + ● ●	+ - ● ●
<u>Catia V5R21</u>				
Fräser	+ + + + +	+ + + + +	+ + + + +	+ - ● ● +
Drehhalter	+ + + + +	+ + + + +	+ + + + +	+ - ● ● +
Stufenbohrer	+ + + +	+ + + +	+ + + +	+ - ● ●
<u>NX 7.5</u>				
Fräser	+ ● ● + +	+ ● ● + +	+ - ● + +	+ ● ● + +
Drehhalter	+ ● + + +	+ ● + + +	+ - + + +	+ ● ● + +
Stufenbohrer	+ ● + +	+ ● + +	+ - + +	+ ● ● +

- Geometrie
- Koordinatensysteme
- Farbe (Cut, Nocut, Schneidkantenlinie)

- Schneidkantenlinie
- Baugruppenstruktur

- + übertragen
- teilweise übertragen
- nicht übertragen

3D-Datenaustausch via STEP

Studie 2015



Ergebnisse der Übertragung nach DIN 4003	EXPORT	Import		
		Creo 3.0 M030	Catia V5-6R2014	NX 10.0
<u>Creo 3.0 M030</u>				
Fräser	+ + + + +	+ + + + +	+ + ● + +	+ ● ● + +
Drehhalter	+ + ● + +	+ + ● + +	+ + ● + +	- + - - -
<u>Catia V5-6R2014</u>				
Fräser	+ + + + +	+ + ● + +	+ + + + +	+ ● ● + +
Drehhalter	+ + + + +	+ + ● + +	+ + + + +	+ + ● + +
<u>NX 10.0</u>				
Fräser	+ - ● + +	+ - ● + +	+ - ● + +	+ - ● + +
Drehhalter	+ - ● - +	+ - ● - +	+ - ● - +	+ - ● - +



Geometrie



Koordinatensysteme



Farbe (Cut, Nocut, Schneidkantenlinie)



Schneidkantenlinie



Baugruppenstruktur

+ übertragen

● teilweise übertragen

- nicht übertragen

Beispiel eines 3D-CAD-Modells eines Werkzeugs



Zusammenfassung der Untersuchungen am ausgewählten Werkzeug

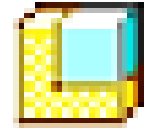
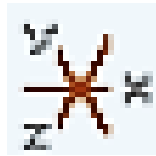
2012	Ergebnisse der Übertragung nach DIN 4003	EXPORT	Import		
			Pro/E Wildfire 5.0	Catia V5R21	NX 7.5
	Pro/E Wildfire 5.0	+ + + + +	+ + + + +	+ + ● ● +	+ - ● ● -
	Catia V5R21	+ + + + +	+ + + + +	+ + + + +	+ - ● ● +
	NX 7.5	+ ● ● + +	+ ● ● + +	+ - ● + +	+ ● ● + +

2015	Ergebnisse der Übertragung nach DIN 4003	EXPORT	Import		
			Creo 3.0 M030	Catia V5-6R2014	NX 10.0
	Creo 3.0 M030	+ + + + +	+ + + + +	+ + ● + +	+ ● ● + +
	Catia V5-6R2014	+ + + + +	+ + ● + +	+ + + + +	+ ● ● + +
	NX 10.0	+ - ● + +	+ - ● + +	+ - ● + +	+ - ● + +

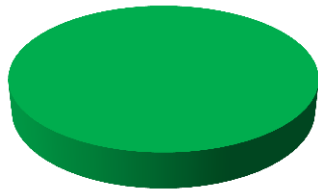
- Geometrie
- Koordinatensysteme
- Farbe (Cut, Nocut, Schneidkantenlinie)
- Schneidkantenlinie
- Baugruppenstruktur
- + übertragen
- teilweise übertragen
- nicht übertragen

3D-Datenaustausch via STEP

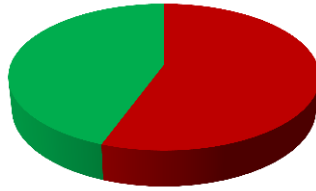
Beurteilung der Datenübertragung am Beispiel des Schaftfräasers



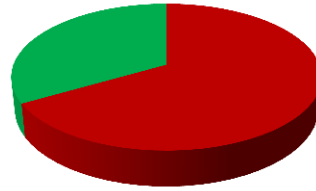
2012



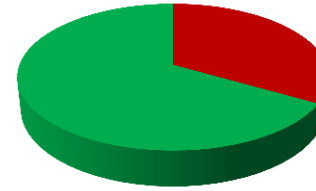
100% 0%



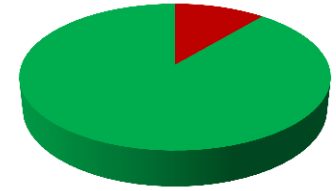
56% 44%



33% 67%

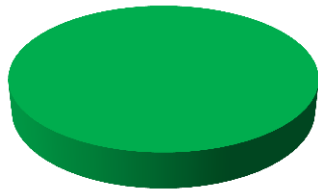


67% 33%

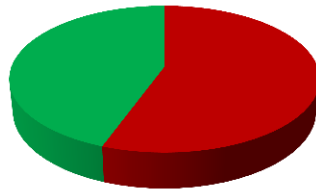


89% 11%

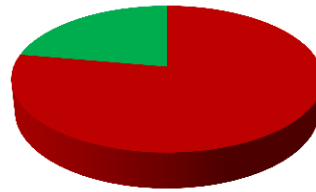
2015



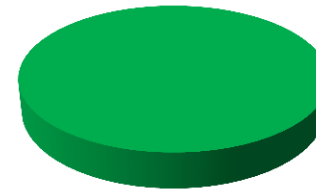
100% 0%



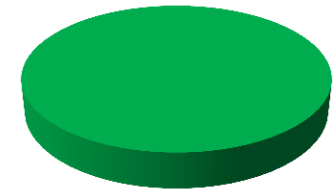
56% 44%



22% 78%



100% 0%



100% 0%

■ erfolgreiche Datenübertragung

■ üngenügende Datenübertragung

3D-Datenaustausch via STEP

STEP-Dateien in verschiedenen Programmen



```
ISO-10303-21;
HEADER;
FILE_DESCRIPTION('CATIA V5 STEP Exchange', 'CAX-IF Rec.Pacs.--- Model Styling and Organization---1.2---2011-12-15', '2;1');
```

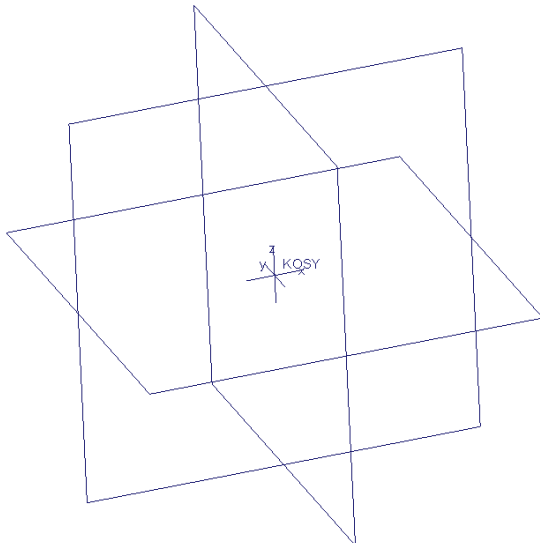
```
FILE_NAME('D:\Uni_Projekte\CoCoDeal\blockTest\standard_KoSy_CatiaV5.stp', '2015-06-24T07:02:38+00:00', 'none', 'none', 'CATIA Version 5-6 Release 2014', 'CATIA V5 STEP AP214', 'none');
```

```
FILE_SCHEMA('AUTOMOTIVE_DESIGN { 1 0 10303 214 1 1 1 1 }');
```

```
ENDSEC;
```

```
DATA;
#5=PRODUCT('standard_KoSy_CatiaV5',,,'#2);
#2=PRODUCT_CONTEXT('mechanical');
#1=APPLICATION_CONTEXT('automotive design');
#10=PRODUCT_DEFINITION('','#6,#9);
#3=PRODUCT_DEFINITION_CONTEXT('part definition',#1,');
#11=PRODUCT_DEFINITION_SHAPE('','#10);
#19=SHAPE_REPRESENTATION('(#18),#16);
#18=AXIS2_PLACEMENT_3D('(#17,S,S);
#17=CARTESIAN_POINT('(.0,E0,E0,E0);
#9=PRODUCT_RELATED_PRODUCT_CATEGORY('part',#5,#15);
#7=PRODUCT_CATEGORY('part',specification);
#15=UNCERTAINTY_MEASURE_WITH_UNIT(LENGTH_MEASURE(0.005),#12,'distance_accuracy_value',CONFUSED_CURVE_UNCERTAINTY);
#4=APPLICATION_PROTOCOL_DEFINITION('international_standard',automotive_design,2001,#1);
#9=PRODUCT_CATEGORY_RELATIONSHIP('','#7,#9);
#6=PRODUCT_DEFINITION_FORMATION_WITH_SPECIFIED_SOURCE('','#5,NOT_KNOWN);
#20=SHAPE_DEFINITION_REPRESENTATION(#11,#19);
#12=(LENGTH_UNIT)NAMED_UNIT('SI_UNIT(MILLI,METRE););
#13=(NAMED_UNIT)PLANE_ANGLE_UNIT('SI_UNIT(RADIAN););
#14=(NAMED_UNIT)SI_UNIT(S,STERADIAN,SOLID_ANGLE_UNIT);
#16=(GEOMETRIC_REPRESENTATION_CONTEXT)GLOBAL_UNCERTAINTY_ASSIGNED_CONTEXT(#15)GLOBAL_UNIT_ASSIGNED_CONTEXT(#12,#13,#14)REPRESENTATION_CONTEXT('');
ENDSEC;
```

Catia V5-6R2014



```
ISO-10303-21;
HEADER;
FILE_DESCRIPTION('','', '2;1');
FILE_NAME('STANDARD_KOSY_CRE030', '2015-06-24T', 'claudia.kleinschrodt', ' ');
PRO/ENGINEER BY PARAMETRIC TECHNOLOGY CORPORATION, 20140900;
PRO/ENGINEER BY PARAMETRIC TECHNOLOGY CORPORATION, 20140900;
FILE_SCHEMA('AUTOMOTIVE_DESIGN { 1 0 10303 214 1 1 1 1 }');
```

```
ENDSEC;
```

```
DATA;
#19=CARTESIAN_POINT('(.0,E0,E0,E0);
#20=DIRECTION('(.0,E0,E0,E0);
#21=DIRECTION('(.1,E0,E0,E0);
#22=AXIS2_PLACEMENT_3D('KSYS',#19,#20,#21);
#24=DRAUGHTING_PRE_DEFINED_CURVE_FONT('continuous',#24);
#24=CURVE_STYLE(',#23,POSITIVE_LENGTH_MEASURE(0.7),#27);
#25=PRESENTATION_STYLE_ASSIGNMENT('(#24);
#26=STYLED_ITEM('(#25),#22);
#27=CARTESIAN_POINT('(.0,E0,E0,E0);
#28=DIRECTION('(.1,E0,E0,E0);
#29=DIRECTION('(.0,E0,E0,E0);
#30=AXIS2_PLACEMENT_3D(',#27,#28,#29);
#31=PLANE('EBENEN',#30);
#32=CARTESIAN_POINT('(.0,E0,E0,E0);
#33=DIRECTION('(.0,E0,E0,E0);
#34=DIRECTION('(.0,E0,E0,E0);
#35=AXIS2_PLACEMENT_3D(',#32,#33,#34);
#36=PLANE('EBENEN',#35);
#37=CARTESIAN_POINT('(.0,E0,E0,E0);
#38=DIRECTION('(.0,E0,E0,E0);
#39=DIRECTION('(.1,E0,E0,E0);
#40=AXIS2_PLACEMENT_3D(',#37,#38,#39);
#41=PLANE('CORNE',#40);
#42=PRESENTATION_LAYER_ASSIGNMENT('EBENEN',,,'(#31,#36,#41);
#43=PRESENTATION_LAYER_ASSIGNMENT('KOSYS',,,'(#22);
#46=PLANE_ANGLE_MEASURE_WITH_UNIT(PLANE_ANGLE_MEASURE(1.745329251994E-2),#45);
#47=(CONVERSION_BASED_UNIT(DEGREE)#46)NAMED_UNIT('PLANE_ANGLE_UNIT);
#49=UNCERTAINTY_MEASURE_WITH_UNIT(LENGTH_MEASURE(3.47254433805E-2),#44,'distance_accuracy_value',
'Maximum model space distance between geometric entities at asserted connectivities');
#52=CARTESIAN_POINT('(.0,E0,E0,E0);
#53=DIRECTION('(.0,E0,E0,E0);
#54=DIRECTION('(.1,E0,E0,E0);
#57=CONSTRUCTIVE_GEOMETRY_REPRESENTATION_RELATIONSHIP('',',#56,#51);
#58=MECHANICAL_DESIGN_GEOMETRIC_PRESENTATION_REPRESENTATION('(#26),#50);
#59=APPLICATION_CONTEXT('automotive design');
#60=APPLICATION_PROTOCOL_DEFINITION('international_standard',
'automotive_design',2001,#59);
#61=PRODUCT_DEFINITION_CONTEXT('part definition',#59,'design');
#62=PRODUCT_CONTEXT('','#59,'mechanical');
#63=PRODUCT('STANDARD_KOSY_CRE030', 'STANDARD_KOSY_CRE030', 'NOT SPECIFIED',
'#62);
#64=PRODUCT_DEFINITION_FORMATION('LAST_VERSION',#63);
#68=PRODUCT_RELATED_PRODUCT_CATEGORY('part',,,'(#63);
#1=DRAUGHTING_PRE_DEFINED_COLOUR('blue');
#2=DRAUGHTING_PRE_DEFINED_COLOUR('green');
#3=COLOUR_RGB('1.1E-2,1.2E-2,1.E0);
#4=COLOUR_RGB('3.9E-1,1.2E-2,1.2E-2);
#5=COLOUR_RGB('4.1E-1,0.E0,2.2E-1);
#6=COLOUR_RGB('5.019607843137E-1,5.019607843137E-1,5.019607843137E-1);
#7=COLOUR_RGB('6.E-1,4.E-1,2.E-1);
#8=COLOUR_RGB('6.E-1,4.E-1,4.E-1);
#9=COLOUR_RGB('6.92E-1,7.426E-1,7.9E-1);
#10=COLOUR_RGB('7.84314E-1,7.84314E-1,7.84314E-1);
#11=COLOUR_RGB('8.E-1,8.E-1,8.E-1);
#12=COLOUR_RGB('8.784E-1,9.49E-1,1.E0);
#13=COLOUR_RGB('9.6E-1,9.6E-1,9.6E-1);
#14=COLOUR_RGB('9.8E-1,6.27E-1,0.E0);
#15=DRAUGHTING_PRE_DEFINED_COLOUR('red');
#16=DRAUGHTING_PRE_DEFINED_COLOUR('yellow');
#17=COLOUR_RGB('1.E0,9.49E-1);
#18=DRAUGHTING_PRE_DEFINED_COLOUR('white');
#44=(LENGTH_UNIT)NAMED_UNIT('SI_UNIT(MILLI,METRE););
#45=(NAMED_UNIT)PLANE_ANGLE_UNIT('SI_UNIT(RADIAN););
#48=(NAMED_UNIT)SI_UNIT(S,STERADIAN,SOLID_ANGLE_UNIT);
#50=(GEOMETRIC_REPRESENTATION_CONTEXT)GLOBAL_UNCERTAINTY_ASSIGNED_CONTEXT(
(#49)GLOBAL_UNIT_ASSIGNED_CONTEXT('(#44,#47,#48)REPRESENTATION_CONTEXT('101',
'3'););
#51=CONSTRUCTIVE_GEOMETRY_REPRESENTATION('supplemental geometry',(#22,#31,#36,
#41),#50);
#55=AXIS2_PLACEMENT_3D(',#52,#53,#54);
#56=SHAPE_REPRESENTATION('(#55),#50);
#65=PRODUCT_DEFINITION('part definition',,,'#64,#61);
#66=PRODUCT_DEFINITION_SHAPE('SHAPE FOR STANDARD_KOSY_CRE030',#65);
#67=SHAPE_DEFINITION_REPRESENTATION(#66,#56);
ENDSEC;
```

```
END-ISO-10303-21;
```

Creo 3.0 M030

```
ISO-10303-21;
HEADER;
/* Generated by software containing ST-Developer
* from STEP Tools, Inc. (www.steptools.com)
*/
/* OPTION: using custom schema-name function */
FILE_DESCRIPTION('
description ' ( ' ),
implementation_level ' / 2;1);
```

```
FILE_NAME[
/ name ' / standard_KoSy_nx10.stp,
/ time_stamp ' / 2015-06-24T09:03:40+02:00,
/ author ' / ( ' ),
/ organization ' / ( ' ),
/ preprocessor_version ' / ST-DEVELOPER V16',
/ originating_system ' / SIEMENS PLM Software NX 10.0',
/ authorisation ' / '];
```

```
FILE_SCHEMA (('AUTOMOTIVE_DESIGN { 1 0 10303 214 3 1 1 1 }));
```

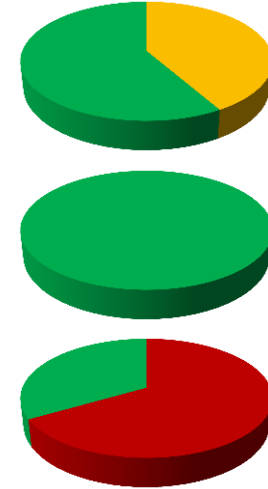
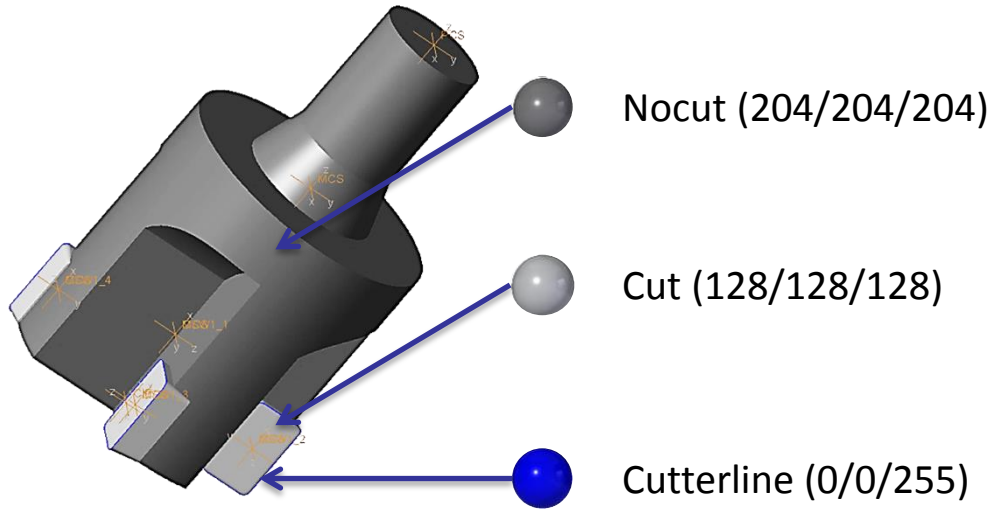
```
ENDSEC;
```

```
DATA;
#10=CONSTRUCTIVE_GEOMETRY_REPRESENTATION_RELATIONSHIP(
'supplemental_geometry',#22,#11);
#11=CONSTRUCTIVE_GEOMETRY_REPRESENTATION('supplemental_geometry',#30,#38);
#12=SHAPE_DEFINITION_REPRESENTATION(#13,#22);
#13=PRODUCT_DEFINITION_SHAPE('',',#14);
#14=PRODUCT_DEFINITION('',',#15,#15);
#15=PRODUCT_DEFINITION_CONTEXT('part definition',#21,'design');
#16=PRODUCT_DEFINITION_FORMATION_WITH_SPECIFIED_SOURCE('','#18,
NOT_KNOWN);
#17=PRODUCT_RELATED_PRODUCT_CATEGORY('part',,,'(#18);
#18=PRODUCT('standard_KoSy_nx10', 'standard_KoSy_nx10', ' (#19);
#19=PRODUCT_CONTEXT('mechanical');
#20=APPLICATION_PROTOCOL_DEFINITION('international_standard', 'automotive_design', 2010, #21);
#21=APPLICATION_CONTEXT('core data for automotive mechanical design processes);
#22=SHAPE_REPRESENTATION('standard_KoSy_nx10-None',(#29),#38);
#23=PRESENTATION_LAYER_ASSIGNMENT('61', 'layer 61', (#30);
#24=STYLED_ITEM('(#25),#30);
#25=PRESENTATION_STYLE_ASSIGNMENT('(#26);
#26=CURVE_STYLE(',#28,POSITIVE_LENGTH_MEASURE(0.7),#27);
#27=COLOUR_RGB('Medium Maroon',0.6,0.4,0.4);
#28=DRAUGHTING_PRE_DEFINED_CURVE_FONT('continuous');
#29=AXIS2_PLACEMENT_3D(',#35,#31,#32);
#30=AXIS2_PLACEMENT_3D(',#36,#33,#34);
#31=DIRECTION('(.0,0,1);
#32=DIRECTION('(.1,0,0);
#33=DIRECTION('(.0,0,1);
#34=DIRECTION('(.1,0,0);
#35=CARTESIAN_POINT('(.0,0,0);
#36=CARTESIAN_POINT('(.0,0,0);
#37=MECHANICAL_DESIGN_GEOMETRIC_PRESENTATION_REPRESENTATION('(#24),#38);
#38=(
GEOMETRIC_REPRESENTATION_CONTEXT(3)
GLOBAL_UNCERTAINTY_ASSIGNED_CONTEXT('(#39)
GLOBAL_UNIT_ASSIGNED_CONTEXT('(#45,#41,#40)
REPRESENTATION_CONTEXT('standard_KoSy_nx10', 'TOP_LEVEL_ASSEMBLY_PART'
););
#39=UNCERTAINTY_MEASURE_WITH_UNIT(LENGTH_MEASURE(2.E-5),#45,
DISTANCE_ACCURACY_VALUE,'Maximum Tolerance applied to model');
#40=(
NAMED_UNIT('
SI_UNITS(S,STERADIAN)
SOLID_ANGLE_UNIT)
);
#41=(
CONVERSION_BASED_UNIT(DEGREE',#43)
NAMED_UNIT(#42)
PLANE_ANGLE_UNIT)
);
#42=DIMENSIONAL_EXPONENTS(0,0,0,0,0,0,0,0);
#43=PLANE_ANGLE_MEASURE_WITH_UNIT(PLANE_ANGLE_MEASURE(0.174532925),#44);
#44=(
NAMED_UNIT('
PLANE_ANGLE_UNIT)
SI_UNITS(S, RADIAN)
););
#45=(
LENGTH_UNIT)
NAMED_UNIT('
SI_UNIT(MILLI,METRE)
););
ENDSEC;
```

NX 10.0

3D-Datenaustausch via STEP

Farbstudie 2016



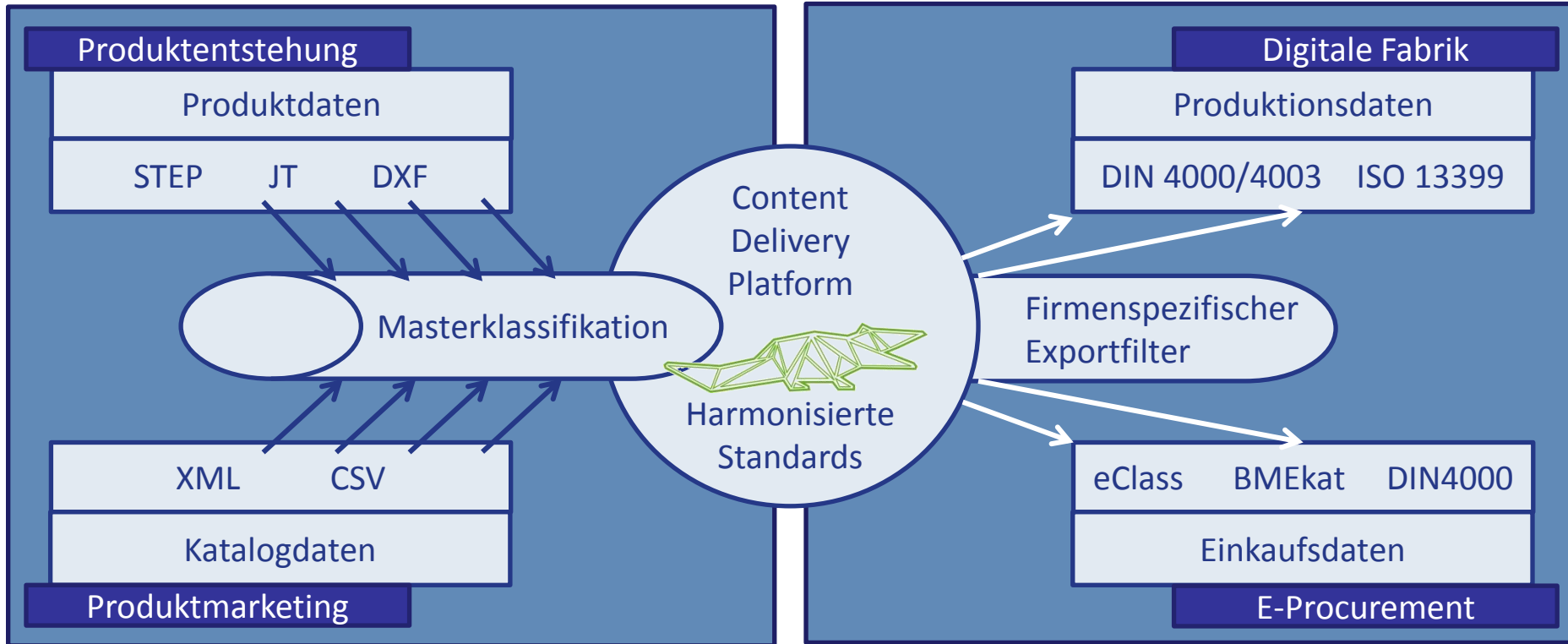
2016

Ergebnisse der Übertragung nach DIN 4003	EXPORT			Import								
				Creo 3.0 M050			Catia V5-6R2014			NX 10.0.2.6		
Firma 1 (Creo)	+	+	+	+	+	+	+	+	-	+	●	-
Firma 2 (Catia)	+	+	-	+	+	-	+	+	-	+	●	-
Firma 3 (NX)	+	+	+	+	+	+	+	+	+	+	●	+
Firma 4 (NX)	+	+	-	+	+	-	+	●	-	+	●	-

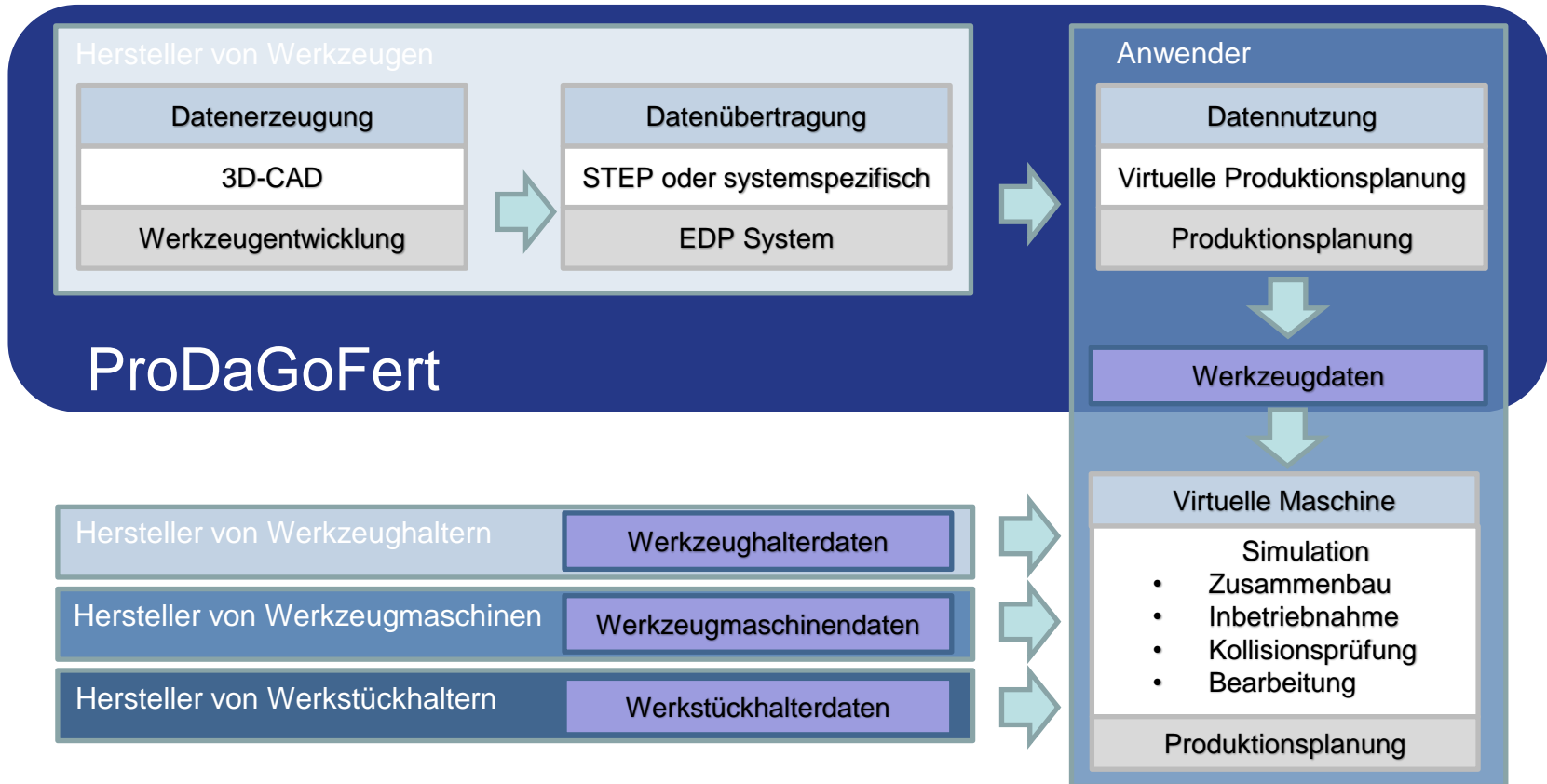
+ Korrekt übertragen

● Innerhalb der Toleranz übertragen

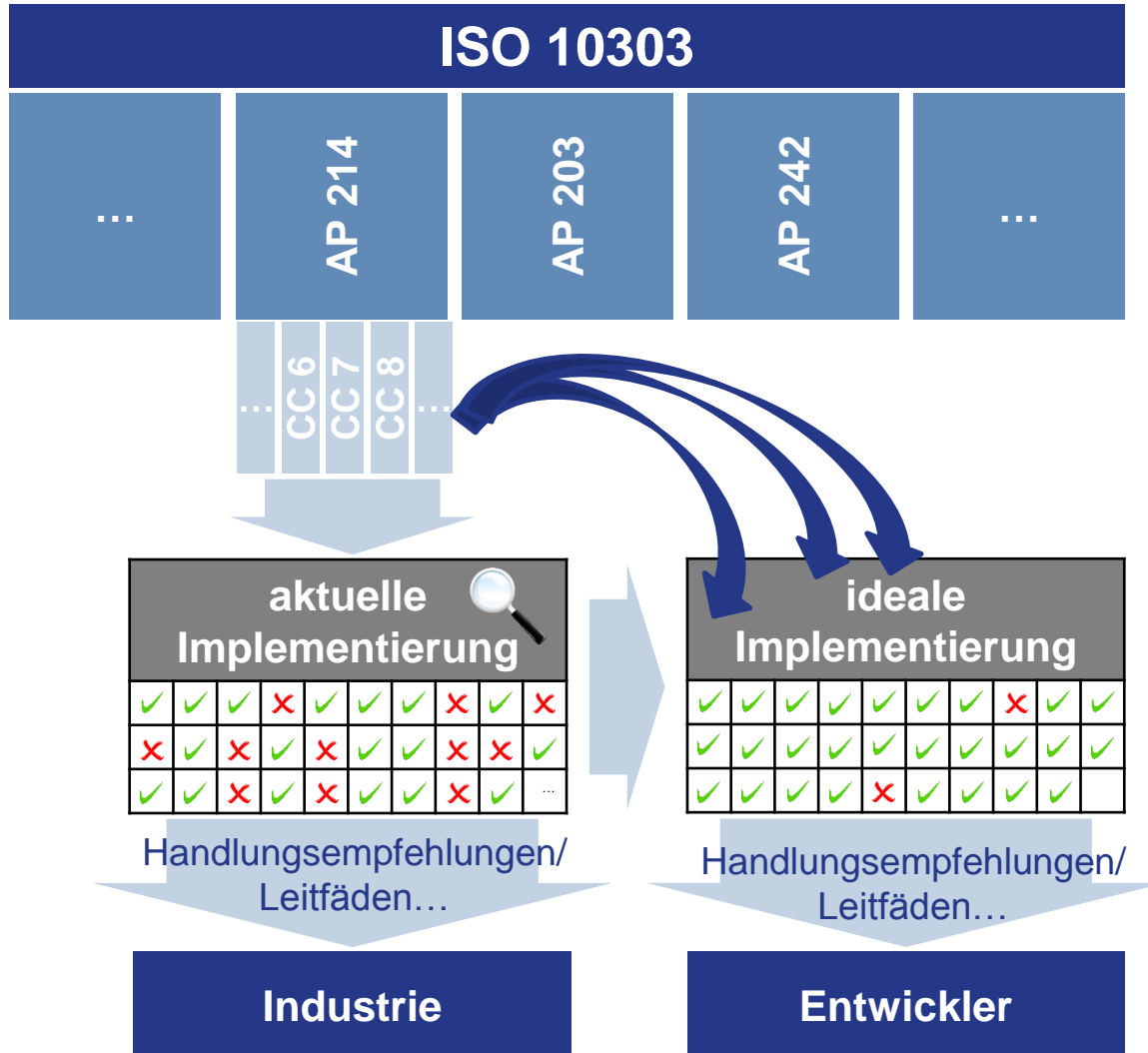
- Nicht oder stark verfälscht übertragen



Ziel des Forschungsprojekts CoCoDeal ist es, die für den Produktdatenaustausch relevanten Informationen bereits während des Produktentstehungsprozesses zu sammeln und über eine auf gängigen Standards basierende Servertechnologie den Kundenunternehmen zur Verfügung zu stellen.



Das Projekt ProDaGoFert betrachtet den Datenaustausch zwischen einzelnen Schritten einer Prozesskette von der Entwicklung der einzelnen Komponenten bis hin zur realen Inbetriebnahme eines Fertigungssystems und die anschließende Produktion. Ziel ist eine exemplarische Befähigung von Unternehmen zu einer durchgängigen Datenübertragung.



Im Projekt ValiPASS soll am Beispiel des Industriezweigs für Präzisionswerkzeuge der praktische Nutzen von STEP validiert werden. Es ist zu untersuchen inwieweit die Funktionalitäten mit aktuell verfügbaren Mitteln am kompletten Produktlebenszyklus bereits genutzt werden können, bzw. wo die Grenzen mangels Unterstützung des Software liegen und wie man diese Grenzen möglichst einfach erweitern könnte indem besonders notwendige Features der STEP Spezifikation genutzt werden.



Vielen Dank für Ihre Aufmerksamkeit!

